

## طبقه بندی ژئومورفیک آثار سیلاب کاتاستروفیک رودخانه گادر

مجتبی یمانی<sup>۱</sup>

موسی عباسی<sup>۲</sup>

### چکیده

واکنش ژئومورفولوژیکی رودخانه‌ها به آشفتگی سیلاب کاتاستروف منجر به گسترش کانال، حمل و نقل رسوبات، فرسایش ساحلی کانال و ایجاد نهشته‌ها و اشکال رسوبی در بستر و حاشیه رودخانه‌ها می‌شود. رودخانه گادر در ۲۵ فروردین ۱۳۹۶ موجب سیل فاجعه بار شد که نتیجه آن تخریب بیولوژیکی و ژئومورفولوژیکی قابل توجهی در کناره‌های رودخانه شد. از تصاویر هوایی با وضوح بالا از قبل و بعد از سیلاب برای تحلیل ۳۵ کیلومتر از بستر اصلی رودخانه گادر به منظور مشخص کردن میزان آشفتگی‌های ژئومورفیکی و کناره رود با شدت‌های متفاوت اعم از آشفتگی زیاد، آشفتگی متوسط تا گروه بدون آشفتگی مورد استفاده قرار گرفت. نتایج نشان داد آشفتگی شدید در نزدیکی بستر اصلی رودخانه رخ داده و با فاصله از بستر اصلی رودخانه رسیدن به دوره بازگشت سیلاب‌های ۱۰۰ و ۵۰۰ ساله کاهش یافته است. این سیلاب موجب آشفتگی زیادی در نزدیکی شاخه‌های اصلی رودخانه شده است. اقدامات کنترل کننده و تعیین حریم سیل گیر موجب بهبود عملکرد بهتر کناره‌های رودخانه شده و سیستم را قادر می‌سازد تا سریعاً بهبود یابد و به رویدادهای سیلاب آینده مقاوم شود.

**واژگان کلیدی:** سیلاب کاتاستروفیک، تغییرات مورفولوژی، مدل میتزن، رودخانه گادر

۱- استاد دانشکده چهارمی، دانشگاه تهران (نویسنده مسئول)

Email: kharazmiabbasi@gmail.com -Tel: 09123197682

۲- دانشجوی دکترای دانشگاه خوارزمی تهران

## مقدمه

سیلاب‌های شدید سبب افزایش قدرت آبراهه‌ها، نرخ فرسایش و رسوب گذاری در کانال رودخانه‌ها می‌گردد (رادک، ۲۰۰۰: ۲). پوشش گیاهی در رودخانه و در امتداد آن و دشت سیلابی نقش مهمی در موقع آشفتگی‌های مربوط به سیلاب‌های کاتاستروف را به دلیل کاهش تخریب ایفا می‌کند که نیروهای هیدرولیک از طریق زبری اضافه شده را کاهش داده و مقاومت هیدرولیکی را از طریق تقویت ریشه افزایش می‌دهد (جولیان و همکاران<sup>۱</sup>، ۲۰۱۶: ۳). این پوشش گیاهی در مقاوم بودن کناره‌های رودخانه در برابر فرسایش ناشی از سیلاب مؤثر هستند (اندرسون<sup>۲</sup>، ۲۰۱۴: ۴) که موجب خسارت کمتر سیلاب در موقع بحرانی می‌شوند (والکزاک<sup>۳</sup>، ۲۰۱۵: ۹)، (جیمز و همکاران<sup>۴</sup>، ۲۰۱۶: ۶؛ بنابراین هدف از تقویت پوشش گیاهی این است که در مناطقی که فاقد پوشش گیاهی و همچنین مناطقی که پوشش گیاهی توسط فرآیند سیل از بین رفته است، استفاده شود. این سیلاب از اواخر ۲۴ فوروردین ۱۳۹۶ شروع و تا اوایل روز ۲۶ فوروردین ماه ادامه داشت. از همان اوایل روز ۲۵ فوروردین بارش شدت گرفت و در حدود ساعت ۲ بامداد به ۱۷۰/۲۵ مترمکعب بر ثانیه رسید. هر چه زمان گذشت بارش نیز شدت بیشتری به خود گرفت و در ساعت ۶ صبح بر اساس داده‌های ایستگاه هیدرومتری و مردم روستای پوش آباد و مسئولان فرمانداری سیلاب با ۳۹۰ مترمکعب بر ثانیه از رودخانه گادر سرریز شد یعنی در این لحظه سیلاب با عبور از حد آستانه آبراهه اصلی رودخانه گادر و سرریز شدن از آن، در حاشیه رودخانه طغیان کرده و با اوج گرفتن شدت سیلاب در ساعت ده با ۴۶۸/۹۸ مترمکعب بر ثانیه موجب تخریب پل پوش آباد و سرگیز گردید و نهایتاً در ساعت یازده شدت سیلاب با دبی ۴۷۰/۸ مترمکعب بر ثانیه به اوج خود رسید و موجب خسارت شدیدی به زمین‌های کشاورزی حاشیه رودخانه، تخریب کارگاه‌های بلوکزنی، تخریب کلبه‌ها و وارد کردن آسیب جدی به خانه‌های روستاهای گردید که از دوره بازگشته بیش از ۲۰۰ سال برخوردار بوده است. سیلاب مجبور تغییرات

1 Julian et al

2 Anderson

3 Walczak et al

4 James et al



عمدهای در مورفلوژی آبراهه‌ها و رودخانه‌های اصلی گادر را سبب گردید که طی شواهد و قرائن موجود در چند دهه اخیر بی سابقه بوده است.

در دو دهه گذشته سیلاب‌های کاتاستروف فرآیندهای رودخانه‌ای متعددی ایجاد کرده‌اند که در زمینه واکنش رودخانه‌ها به وقایع سیلاب‌های بزرگ مطالعات موردی انجام شده است. مکلین و همکاران<sup>۱</sup> (۱۹۹۲) مورفلوژی، ویژگی‌های رسوی و توالی رسوبات سیلابی درشت دانه اخیر و هولوسن پایانی را در حوضه آبریز کوچکی به مساحت ۹۵ کیلومترمربع در مناطق مرتفع شمالی انگلستان مورد بررسی قرار دادند. مطالعه نهشته‌های تخته سنگ-قلوه سنگ، صفحات شنی و باریکه‌های قلوه سنگی نشان از ثبت ۲۱ واقعه سیلابی بزرگ بود که به جز یک مورد، باقی وقایع مربوط به قرن هجدهم می‌باشد. هاور و هابرسك (۲۰۰۹) به بررسی اثرات سیلاب ۲۰۰۲ بر روی دشت سیلابی و مورفلوژی دره استرالیا در رودخانه‌هایی با سنگ بستر آبرفتی پرداختند. نتایج آنها نشان داد که علاوه بر فرسایش ساحلی در بخش‌های پیچان رودی، بستر رودخانه به صورت محلی گسترش یافته است. باتورپ و همکاران<sup>۲</sup> (۲۰۱۳) یک همبستگی مثبت بین سیلاب‌های کم شدت و غنای گونه‌ها (تعداد گونه‌های مجزا) در دشت سیلابی را نشان داد که در جنگل‌های دارای احتمال وقوع سیلاب سیل مکرر با قدر کم اتفاق می‌افتد. کوچل و همکاران<sup>۳</sup> (۲۰۱۵) به بررسی پاسخ مورفلوژیک رودخانه‌ای در فلات آپالاچی واقع در شمال مرکزی پنسیلوانی به سیلاب ۲۰۱۱ در ایالت متحده آمریکا پرداختند. نتایج مطالعه نشان از جدا شدنی ساحلی بزرگ مقیاس، فرسایش سنگ ریزه از حاشیه کanal و حمل و نقل آن به پایین دست رودخانه، فرسایش دشت سیلابی اصلی و رسوبات، تخریب خاک ریزه‌های انسانی و اتصال مجدد به کanal اصلی داشت. روسناک و همکاران<sup>۴</sup> (۲۰۱۵) با مطالعه عکس‌های هوایی مربوط به هفت دوره تغییرات مورفلوژیکی ایجاد شده بر یک رودخانه مئاندری به طول ۱۳/۲ کیلومتر واقع در اسلواکی را که ناشی از سیلاب‌های مکرر بود بررسی نموده و نتیجه گرفتند

1 Macklin et al

2 Pedersen

3 Kochel et al

4 Rusnak et al

سیلاب‌های کوچک و مکرر به جای تخریب سیستم رودخانه منجر به ثبات کanal، فرسایش ساحل مقعر و به شکل‌گیری پلان قوسی پر پیچ و خم در رودخانه می‌گردد. در مقابل دوره بازگشت کوتاه از سیل‌های شدید منجر به افزایش شدت فرآیندهای فرسایش، تغییر از پلان قوسی پر پیچ و خم به کمی شریانی، صاف شدن کanal و شکل‌گیری نهشته‌های شنی می‌شود. گرت و همکاران<sup>۱</sup> (۲۰۱۵) اثر سیلاب را در مکان‌های کناره رود در حوضه آبریز گولبورن - شکسته در استرالیا بررسی کردند و نتایج نشان داد که پس از سیل غنای گونه‌ها کاهش می‌یابد اما نه تنها گونه‌های بومی کاهش نیافته بلکه پوشش گونه‌های چوبی بومی پایدار و افزایش داشته است. مگیلیگان و همکاران<sup>۲</sup> (۲۰۱۵) در پژوهشی ارتباط بین پارامترهای جریان و تأثیرات ژئومورفولوژیک سیلاب‌های شدید را بررسی نمودند. نتایج آن‌ها نشان داد که اگر چه این سیلاب از نظر بزرگی گسترش آبراهه، کم و محدود بود ولی اثرات ژئومورفیک عمیقی را مانند انتقال و رسوب‌گذاری مواد بسیار دانه درشت، فرسایش ساحلی آبراهه و رسوب مواد دانه درشت در سراسر دشت‌های سیلابی به دنبال داشت. در ایران نیز در مورد ژئومورفولوژی سیل کارهای زیادی صورت گرفته (یمانی و همکاران ۱۳۸۴، جهادی طرقی ۱۳۸۷، فرج زاده ۱۳۹۰، حسینی و همکاران ۱۳۹۳، خان بابایی و همکاران ۱۳۹۶) ولی تاکنون آثار سیلاب کاتاستروفیک در ایران طبقه بندی ژئومورفویکی نشده است. این پژوهش با هدف ارائه الگویی برای تعیین میزان آشفتگی‌های ژئومورفیکی ناشی از سیلاب کاتاستروفیک رودخانه گادر به واقعه سیلاب سال ۹۶ انجام شده است.

### موقعیت منطقه مورد مطالعه

رودخانه گادر در جنوب استان آذربایجان غربی از رودخانه‌های مرزی غرب کشور قرار گرفته که یکی از پر آب‌ترین زیر حوضه‌های حوضه آبریز دریاچه ارومیه می‌باشد. حوضه آبریز رودخانه گادر در میان دو رشته کوه تقریباً موازی با هم قرار گرفته که رودخانه در همین راستا در جریان می‌باشد. رشته کوه‌های بخش غربی در مرز ایران و عراق و رشته کوه‌های بخش شرقی به عنوان خط تقسیم مرز حوضه گادر با حوضه زرینه رود و اشنویه

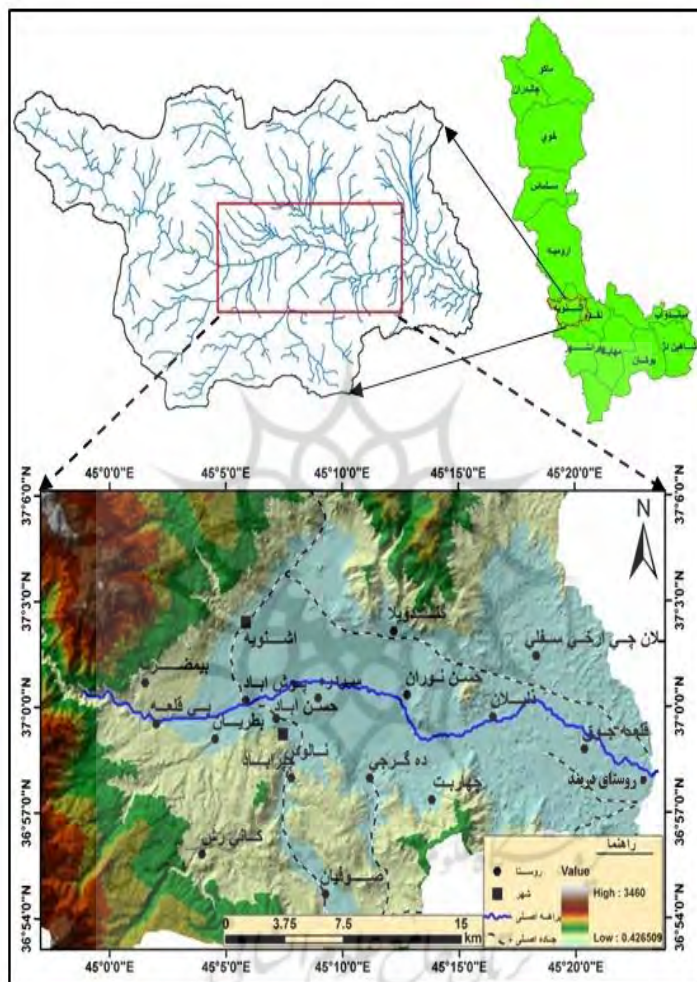
1 Greet et al

2 Magilligan et al



می باشدند. بیشترین ارتفاع محدوده کوه دالامپر با ارتفاع ۳۴۵۱ متر است. از سایر کوه‌ها و ارتفاعات منطقه می‌توان به کوه کیله شین، بز سینا و بردہ زرد اشاره نمود. این منطقه از دیدگاه تقسیمات واحدهای ساختمانی - روسوبی ایران از نظر اشتوكلین بخشی از کمربند دگرگونی افیولیتی زون سنندج - سیرجان است. اقلیم منطقه در ارتفاعات حوضه دارای اقلیم مدیترانه‌ای سرد و مرطوب بوده و در ارتفاعات پایین‌تر دارای نیمه خشک تا معتدل می‌باشد و دما هم در ارتفاعات کوهستانی ۵ سانتی‌گراد بوده و در بازه‌های پایین‌تر دما بیشتر شده و حدود ۱۰ / ۵ الی ۱۲ / ۵ سانتی‌گراد است. بیشترین بارش‌ها در ارتفاعات حوضه و نواحی کوهستانی که دارای ارتفاع بیش از ۳۰۰۰ هزار متر هستند، رخداده که میانگین بارش سالانه بین ۸۰۰ الی ۶۰۰ میلی‌متر است. مساحت این حوضه برابر با ۲۰۸۶/۹۲ کیلومتر مربع و محیط آن برابر با ۲۳۹/۶ کیلومتر می‌باشد. حوضه آبخیز رودخانه گادر و زهکش اصلی آن از ارتفاعات شمال و غرب اشنویه سرچشممه گرفته و پس از طی کردن ارتفاعات وارد دشت آبرفتی اشنویه شده که با عبور از این دشت حاصلخیز وارد رودخانه اشنویه شده و در نهایت به دریاچه ارومیه متنه می‌شود. محدوده‌ای که در این پژوهش روی آن مطالعه انجام گرفته از ارتفاعات کیله شین واقع در شهرستان اشنویه تا روستای دربند می‌باشد (شکل ۱).

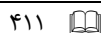
پژوهشگاه علوم انسانی و مطالعات فرهنگی  
پرستال جامع علوم انسانی



شکل ۱- موقعیت جغرافیایی حوضه گادر

## داده‌ها و روش‌ها

داده‌ها با استفاده از داده‌های آماری، داده‌های تصویری (شامل نقشه‌های زمین‌شناسی و توپوگرافی مربوط به منطقه، عکس‌های هوایی، تصاویر Google Earth و نرم افزار Arc



GIS و روش میتزن استفاده شد) و داده‌های میدانی (این مرحله شامل مشاهده مستقیم تغییرات مورفولوژی رودخانه‌ها، سواحل و اشکال رسویی ایجاد شده بر اثر سیلاب در هر کدام از بازه‌ها، تعیین نقشه حریم رودخانه، مسیرها و مناطقی که اثرات سیلاب در آن‌ها قابل مشاهده بوده) گردآوری شده است. از عکس‌های هوایی سال ۹۵ و ۹۶ جهت مشخص کردن میزان آشفتگی‌های ژئومورفیکی ناشی از سیلاب کاتاستروف در ۳۵ کیلومتر رودخانه اصلی گادر استفاده شد و تصاویر موجود برای تاریخ قبل و بعد از سیلاب انتخاب شد. تغییرات مورفولوژی پس از سیل با استفاده از تصاویر هوایی مشخص شد که با استفاده از دیجیتالی کردن منطقه مکان‌هایی که آشفتگی سیلاب کاتاستروفیک در طول رودخانه گادر رخ داده‌اند به وضوح قابل مشاهده هستند. برای مدیریت ضروری با استفاده از روش میتزن از دوره بازگشت‌های شامل بستر سیلاب و دشت سیلابی ۱۰۰ و ۵۰۰ ساله برای تعیین میزان آشفتگی‌های ژئومورفیکی رودخانه استفاده گردید. مدل میتزن شامل دو بخش آشفتگی کناره رود و آشفتگی ژئومورفیک می‌باشد که هر کدام از این دو بخش شامل گروه‌های مختلف هستند. بخش آشفتگی کناره رود شامل شش گروه بدون آشفتگی، آشفتگی خیلی کوچک، آشفتگی جزئی، آشفتگی متوسط، آشفتگی زیاد و آشفتگی خیلی زیاد است که بر اساس شدت آشفتگی گروه بندی شده‌اند و بخش آشفتگی ژئومورفیک شامل چهار گروه بوده که از گروه بدون آشفتگی تا آشفتگی بزرگ طبقه بندی شده‌اند (شکل ۲). مساحت کل آشفتگی‌های کناره رود و ژئومورفیک به ترتیب برای هر تمامی گروه‌ها در هر دو بخش برای کل منطقه مورد مطالعه محاسبه شد. (جدول ۱ و ۲) و میزان آشفتگی در هر دو بخش کناره رود و ژئومورفیک برای هر گروه بر اساس سه دوره بازگشت شامل بستر سیلاب، دشت سیلابی ۱۰۰ ساله و ۵۰۰ ساله به دست آمد (شکل ۳ و ۴). یک گروه بندی جداگانه برای تعیین میزان تأثیر فعالیت درختکاری و پوشش گیاهی در گروه‌های مختلف آشفتگی کناره رود و ژئومورفیک انجام شد (جدول ۴)؛ و در نهایت یک مقایسه یکپارچه سازی فضایی در هر دو بخش آشفتگی‌های کناره رود و ژئومورفیک که با استفاده از همبستگی پیرسون مورد آزمایش قرار گرفته، انجام شده است تا نسبت آشفتگی‌های تمامی گروه‌ها را در هر دو بخش تحلیل کند (جدول ۳).

**جدول ۲- روش دسته‌بندی توصیفی طرح‌های آشفتگی کناره رود و ژئومورفیک (میتزن و همکاران، ۲۰۱۷)**

آشفتگی کناره رود		
گروه سوم - آشفتگی جزئی - آشفتگی در پوشش گیاهی کنار رودخانه‌ای به وضوح قابل مشاهده است. - اگر چه بعضی از درختان سقوط کرده و یا از بین رفته اند ولی اکریت آنها قائم هستند.	گروه دوم - آشفتگی خیلی کوچک - سیلاپ در اکثر پوشش گیاهی این مناطق تأثیری ندارد. - پوشش‌های گیاهی کم ممکن است نشانه‌هایی از آشفتگی را نشان دهند.	گروه اول - بدون آشفتگی - این نواحی نشانه‌هایی از آشفتگی در آن‌ها مشاهده نمی‌شود.
گروه ششم - آشفتگی خیلی زیاد - تمام دشت سیلاپ خالی شده است - پوشش گیاهی کنار رودخانه کاملاً از بین رفته است و به آبرفت‌های سنگی یا بستر سنگی رسیده است.	گروه پنجم - آشفتگی زیاد - قسمتی از دشت سیلاپ خالی شده است - تقریباً همه پوشش گیاهی کنار رودخانه از بین رفته است. - مقداری از آبرفت‌ها هنوز در محل وجود دارند.	گروه چهارم - آشفتگی متوسط - در اکثر پوشش گیاهی کنار رودخانه آشفتگی وجود دارد. - درختهایی که سقوط کرده و یا از بین رفته‌اند از درختهایی که قائم هستند بیشتر می‌باشند.
آشتفتگی ژئومورفیک		
C گروه - آشفتگی متوسط - اشکالی که در امتداد کانال رودخانه گسترش یافته یا تعییر پیدا کرده اند. شامل چاله‌هایی می‌باشند که در این مناطق گستردۀ شده‌اند که نشانه‌هایی از رسوب متوسط یا فرسایش می‌باشد.	B گروه - آشفتگی خیلی کم - شواهد فرسایش یا رسوب وجود دارد. - مناطقی که از کanal رودخانه دور هستند و در آن‌ها فرسایش رودخانه‌ای کم است	A گروه - بدون آشفتگی - این نواحی نشانه‌هایی از آشفتگی در آن‌ها مشاهده نمی‌شود
D گروه - آشفتگی بزرگ - در این مناطق فرسایش و رسوب زیاد اتفاق می‌افتد - اشکال جدید مانند نوارهای نقطه‌ای رسوب‌گذاری می‌شوند، کانال رودخانه گستردۀ می‌شود و چاله‌های جدید به وجود می‌آیند.		



## نتایج و بحث

### بررسی شرایط ژئومورفیکی و آشفتگی کناره رود گادر

تعداد پیچان رودهای رودخانه گادر قبل از سیلاب، ۸۸ پیچان رود بوده که بعد از سیلاب به ۷۹ پیچان رود کاهش یافته است. به عبارت دیگر بعد از رخداد این سیل تعداد ۹ پیچان رود حذف شده است که بیشترین تعداد پیچان رودهای حذف شده در محدوده روستای پوش آباد تا روستای دریند (باشه سوم) واقع شده‌اند. تغییرات تعداد پیچان رودها در بخش‌های بعدی رودخانه گادر کمتر بوده است. هم چنین طول خط مرکزی رودخانه گادر قبل از سیلاب  $22/21$  کیلومتر بوده که بعد از سیلاب به  $22/31$  کیلومتر رسیده است که این نشان دهنده تغییرات کم طول رودخانه در بازه زمانی مورد مطالعه می‌باشد. در دوره قبل سیل در بازه اول بیشترین میزان ضریب خمیدگی  $1/8$  بوده در حالی که همین بازه بعد از وقوع سیل بالاترین میزان ضریب خمیدگی  $1/4$  بوده و این نشان دهنده تغییرات و حذف تعدادی کمی از پیچان رودها در این بازه می‌باشد. هم چنین بیشترین میزان ضریب خمیدگی بعد از سیل به میزان  $2/6$  در بازه دوم وجود داشته و در دوره قبل از رخداد سیل نیز ماکزیمم بیشترین تعداد ضریب خمیدگی در بازه دوم به میزان  $2/3$  بوده است. تغییرات ضریب خمیدگی قبل از سیل بین  $1/04$  تا  $2/3$  در نوسان بوده در حالی که این میزان بعد از سیل بین  $1/05$  تا  $2/6$  در نوسان بوده است. نوسان و تغییرات ضریب خمیدگی رودخانه گادر در بازه اول کمتر بوده که علت آن در بازه اول کوهستانی بوده مسیر رودخانه می‌باشد. در بازه دوم و سوم میزان ضریب خمیدگی بعد از سیلاب نسبت به دوره قبل از سیل افزایش پیداکرده و این نشان دهنده افزایش پیچان رودها در این دو بازه و در نتیجه تغییر در مورفولوژی رودخانه در این بازه‌ها می‌باشد. در بازه اول تغییرات عرض رودخانه همانند نوسانات ضریب خمیدگی چندان زیاد نبوده است و تعداد مئاندرها نیز درآید بازه در دو بازه زمانی تغییرات چندانی نکرده است، پس رودخانه در این بازه تغییرات چندانی نداشته است. بررسی تغییرات طول موج و طول دره در دو دوره زمانی قبل و بعد از سیل در رودخانه گادر نشان می‌دهد که در محدوده روستای پوش آباد تا روستای دریند (باشه سوم) میانگین تغییرات طول موج و طول دره بعد از سیلاب افزایش داشته و علت آن را می‌توان به این

صورت تشریح کرد که قدرت مانور رودخانه در این محدوده به علت آبرفتی و سست بودن بستر نسبت به بازه‌های کوهستانی بیشتر است. به همین علت این محدوده حالت ناپایدار داشته و بیشترین تغییرات عرض نیز در این محدوده اتفاق افتاده است. عرض رودخانه نیز در این محدوده دو برابر شده است و میانگین طول دره در دو بازه در دوره بعد از وقوع سیل افزایش داشته است یعنی خط مرکزی رودخانه در این بازه تغییر کرده و نسبت به قبل از وقوع رخداد کاهش یافته است. از طرف دیگر این بررسی‌ها می‌دهد که در قسمت‌های میانی رودخانه میزان تغییرات نسبت به قسمت‌های ابتدایی و انتهایی بیشتر بوده است. میزان شاعع نسبی در بعد از سیلاب روند نزولی داشته است به‌طوری که بازه سوم در محدوده تحت‌فشار قرار دارد و میزان شاعع نسبی آن در دوره بعد از سیل کاهش یافته است یعنی اینکه رودخانه نسبت به قبل از وقوع سیل بیشتر تحت فشار قرار گرفته است. کاهش تعداد پیچان‌رودها، افزایش ضرب خمیدگی و تغییرات عرضی به‌نوعی نشان دهنده تحت فشار بودن چم‌های رودخانه در این محدوده است و این مسئله وجود ناپایداری و توسعه و گسترش فرسایش کناری را در این بازه نشان می‌دهد. بازه دوم در محدوده آزاد قرار داشته و کاهش شاعع نسبی آن بعد از سیل بیانگر کاهش آزادی‌های چم‌های رودخانه در این محدوده است. در بازه اول که چم آن در قسمت محدود شده قرار گرفته یعنی چم‌های رودخانه به علت کوهستانی بودن محدود شده‌اند. مقایسه متوسط عمق رودخانه در بازه‌های موردمطالعه در دو دوره زمانی نشان می‌دهد که عمق رودخانه تغییرات چشم‌گیری نداشته است اما مقایسه تغییرات نسبت عرض به عمق رودخانه گادر در بازه‌های موردمطالعه نشان دهنده وجود تغییرات زیادی در بازه سوم (روستای پوش آباد تا روستای دربند) و تغییرات ناچیز در بازه اول (ارتفاعات کیله شین تا روستای بیمضرته) می‌باشد. به‌طوری که نسبت عرض به عمق رودخانه در بازه اول بعد از سیلاب کاهش یافته است اما در دو بازه دیگر این نسبت افزایش یافته است.

جدول ۳- تغییرات پارامترهای هندسی رودخانه گادر قبل و بعد از سیلاب ۲۵ فروردین سال ۹۶

روستای پوش آباد تا روستای دربند		روستای بیمضرته تا روستای پوش آباد		ارتفاعات کیله شین تا روستای بیمضرته		موقعیت محدوده پارامترهای هندسی	
بعد سیلاب	قبل سیلاب	بعد سیلاب	قبل سیلاب	بعد سیلاب	قبل سیلاب	وقوع سیل	
۳۰	۲۶	۲۵	۲۷	۲۴	۲۵	تعداد پیچان رودها	
۲۲/۳۱	۲۲/۲۱	۱۱/۱۲	۱۱/۱۱	۲۲/۹۸	۲۲/۹۵	طول خط مرکزی (کیلومتر)	
۱۲۵	۸۰	۸۵	۷۲	۳۲	۳۱	میانگین عرض رودخانه (متر)	
۸	۵	۷	۴	۵/۵	۵	میانگین عمق رودخانه (متر)	
۱۳۶	۱۲۴	۹۱	۸۵	۹۵	۱۰۵	زاویه مرکزی (درجه)	
۱۲۳	۱۷۴	۱۱۷	۱۶۲	۱۳۷	۱۹۲	میانگین شعاع دایره (متر)	
۷۲۱	۷۱۶	۴۸۳	۳۱۲	۵۱۲	۴۸۴	میانگین طول موج (متر)	
۸۰۳	۸۴۸	۶۸۰	۴۱۹	۶۹۲	۶۵۷	میانگین طول دره (متر)	
۱/۳	۱/۱	۱/۵	۱/۳	۱/۴	۱/۲۴	ضریب خمیدگی / پیچشی	
۱/۲	۲/۱	۱/۵	۴/۲	۷/۳	۷/۷	شعاع نسبی	
۱۸/۵	۳۱/۲	۹/۳	۲۳/۱	۳۲/۱	۳۵/۴	نسبت طول دره به عرض دره	
۱۴/۱۷	۲۰/۱۵	۷/۱۹	۱۶/۱۴	۳۲/۶۷	۲۹/۸۷	نسبت طول موج به عرض	

کل مساحت ناشی از آشفتگی کناره رود و ژئومورفیک هر گروه برای کل منطقه مورد مطالعه و نسبت به سه دوره بازگشت سیلاب محاسبه شده است. طیقه بندی کلی مقادیر داده های آشفتگی ژئومورفیک و کناره رود به عنوان درصدی از کل مساحت های به دست آمده از طبقه بندی ژئومورفیک آبراهه (جدول ۴ و ۵) و به عنوان درصد آشفتگی هر گروه در هر بخش بیان شد (جدول ۶)، (شکل ۲ و ۳). مقایسه فضایی پوشش کناره رود رودخانه و آشفتگی ژئومورفیک با استفاده از همبستگی پیرسون برای تطبیق گروه های مختلف مورد آزمایش قرار گرفت (جدول ۷). همچنین یک طیقه بندی درصد مساحت را برای کاشت درخت که در محدوده های مختلف کناره رود و آشفتگی ژئومورفیک صورت گرفته بود، انجام شد (جدول ۸).

جدول ۴- طبقه بندی مقادیر داده های آشنازگی کناره رود به عنوان درصدی از کل مساحت های به دست آمده از طبقه بندی ژئومورفیک آبراهه (متر مربع)

کل مساحت (متر مربع)	خارج از سیلاب		۵۰۰ ساله		دشت سیلابی ۱۰۰ ساله		بستر سیل		آشتفتگی
	درصد	مساحت (متر مربع)	درصد	مساحت (متر مربع)	درصد	مساحت (متر مربع)	درصد	مساحت (متر مربع)	
۲۷۰۱۰۲۵۴	.	.	۲۹/۱۱	۱۱۷۹۵۴۲	۴۳/۱۰	۲۰۳۹۴۰/۷	۶۷/۳۵	۵۱۹۱۳۰۵/۸	.
۱۰۵۰۸۴	۱/۳۳	۲۱۹/۷۳۶	۱/۰۹	۶۶۵۷۲۴	۴/۲۶	۱۲۳۶۰۵/۰۲	۱۶/۸	۳۳۳۱۴۰/۵۳	۱
۲۵۰۱۸۷۲۱	۴۳/۵۵	۳۸۱/۸۹۵	۳/۲۵	۴۴۷۵۶۲	۸/۱۵	۹۲۱۲۲۵/۷۸	۱۱/۰۵	۹۹۴۵۴۵/۲۶	۲
۴۲۹۱۶۹۱	۱۵/۸۲	۱۰۱/۵۷۹	۰/۶۸	۱۸۵/۷۸۹	۲۰/۴۴	۲۰۹۵۸۱۰/۰۵	۲۶/۷۶	۳۲۲۲۸۷۲/۲	۳
۱۰۹۵۷۵۹۳	۳۷/۹۵	۴۱۰/۰۵۳	۶/۲۱	۴۲۱۸۷۵	۱۰/۴۱	۲۰۹۷۱۱۳/۷	۹/۳۲	۸۳۷۷۴۳۰/۲	۴
۶۵۷۴۳۷	۱/۳۳	۵۲۰/۰۵۷	۰/۳۱	۵۱۹۰۹۹	۰/۳۳	۳۷۸۲۸/۴۲	۱۲/۸۱	۹۷۶۸۷/۸	۵
۲۵۰۴۳۰۸۷	۰/۴۱	۱۹۶۰۴۷	۸/۶۳	۱۱۸۱۷۸۲	۲۵/۶۶	۵۴۵۴۳۰۰۴	۶۵/۲۹	۱۸۲۱۱۹۵۴	مجموع

جدول ۵- طبقه بندی مقادیر داده های آشقتگی ژئومورفیک رود به عنوان درصدی از کل مساحت های به دست آمده از طبقه بندی ژئومورفیک آبراهه (متر مربع)

کل مساحت	خارج از سیلاب		دشت سیلابی ۵۰۰ ساله		دشت سیلابی ۱۰۰ ساله		بسیار سیل		آشتفتگی
	درصد	مساحت (مترمربع)	درصد	مساحت (مترمربع)	درصد	مساحت (مترمربع)	درصد	مساحت (مترمربع)	
۳۷۱۶۰۸۴۶	۰	۰	۹۴/۱۰	۲۶۱۳۶۹۷۸	۸۶/۱۶	۹۳۲۷۱۵۶	۴۶/۵۸	۱۶۹۶۷۱۲	A
۵۷۸۹۶۹	۸/۰۱	۱۳۵۶۸۷	۰/۴۱	۱۲۹۸۶۳	۱/۴۵	۱۵۶۴۸۸	۳/۵۷	۱۷۸۹۳۱	B
۱۷۴۷۸۳۹	۱۸/۰۲	۱۴۲۸۱۰	۰/۵۱	۴۱۸۹۳۵	۴/۱۶	۴۴۹۸۱۳	۲۰/۲۱	۷۳۶۲۸۱	C
۴۹۷۲۱۰۵	۷۳	۸۹۲۳۴۶	۴/۹۸	۱۰۷۹۶۸۳	۸/۲۴	۱۳۸۳۶۹۲	۲۹/۶۴	۱۶۱۶۳۸۴	D
۴۴۴۰۹۷۵۹	-	۱۱۷-۸۴۳	۵/۹	۲۷۷۶۵۴۵۹	۱۳/۸۵	۱۱۳۱۷۱۴۹	۵۳/۴۲	۴۲۲۸۳۰۸	مجموع



جدول ۶- مساحت کل محدوده مقاطع بین مقادیر داده‌های ژئومورفیک و آشفتگی رود به عنوان درصدی از کل مساحت‌های به دست آمده از طبقه بندی ژئومورفیک آبراهه (متر مربع)

آشفتگی ژئومورفیک								
	A	گروه درصد	B	گروه درصد	C	گروه درصد	D	گروه درصد
آشفتگی سواحل	۱۰۲۸۲۸۷۴	۲۹/۵۵	۱۳۸۵۱۲۰	۲۷/۸۵	۲۸۷۱۱۱	۱۶/۴۲	۲۱۸۷۱۴	۳۷/۷۷
۱	۱۰۷۶۸۴۸۷	۲۸/۹۸	۷۶۷۸۵۸	۱۵/۴۴	۱۶۵۶۷۱	۹/۴۸	۱۰۲۶۵۰	۱۷/۷۳
۲	۹۰۲۳۵۰۷	۲۴/۲۸	۹۸۲۲۲۹	۱۹/۷۵	۱۰۶۸۹۲	۶/۱۱	۶۹۷۲۸	۱۲/۰۴
۳	۵۲۰۰۵۹۸۷	۱۴/۰۱	۱۰۹۲۳۵۱	۲۱/۹۶	۳۶۸۲۲۹	۲۱/۰۶	۴۸۴۰۹	۸/۳۶
۴	۷۵۷۹۸۳	۲/۰۴	۶۹۱۰۴۹	۱۳/۹۰	۶۲۱۴۷۱	۳۵/۵۵	۸۹۶۳۱	۱۵/۴۸
۵	۴۲۲۰۰۸	۱/۱۳۶	۵۳۴۹۸	۱/۰۷	۱۹۸۴۶۵	۱۱/۳۶	۴۹۸۳۷	۸/۶۰
کل		۳۷۱۶۰۸۴۶	۴۹۷۲۱۰۵		۱۷۴۷۸۳۹		۵۷۸۹۶۹	

مقادیری که به وضوح نشان می‌دهد همپوشانی گروه‌ها با قوی‌ترین روابط بین شدت آشفتگی در کناره رود و ژئومورفیک را نشان می‌دهد

جدول ۷- همبستگی پیرسون بین همپوشانی گروه‌های آشفتگی کناره رود و ژئومورفیک.

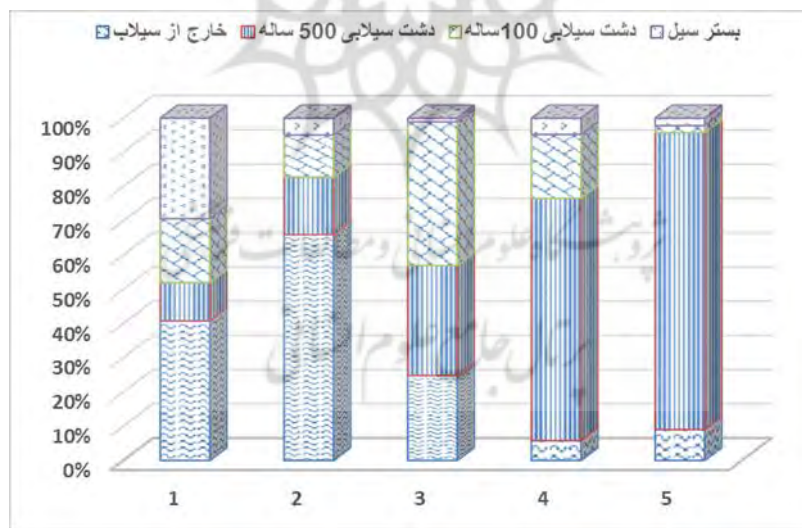
CAT-0	CAT-A	CAT-B	CAT-C	CAT-D
	-,۵۲۹**	-۰,۱۵۹**	-۰,۲۱۷**	-,۰۵۸**
CAT-1	-,۱۱۲**	-۰,۲۰۴**	-۰,۱۶۳**	-۰,۰۰۷
CAT-2	-,۰,۲۹*	-۰,۲۸۳**	-۰,۱۹۶**	-۰,۰۰۶
CAT-3	-۰,۱۷۱**	-۰,۳۷۸**	-۰,۰,۳۴**	-۰,۲۹۳**
CAT-4	-۰,۱۰۸**	-۰,۳۱۱**	-۰,۳۶۸**	-۰,۰۵۸**
CAT-5	-۰,۲۲۴**	-۰,۳۰۹**	-۰,۱۱۰**	-۰,۳۷۸**

- همبستگی در سطح ۵,۰ معنی دار است، مقادیر بیشتر قوی‌ترین روابط را نشان می‌دهد.

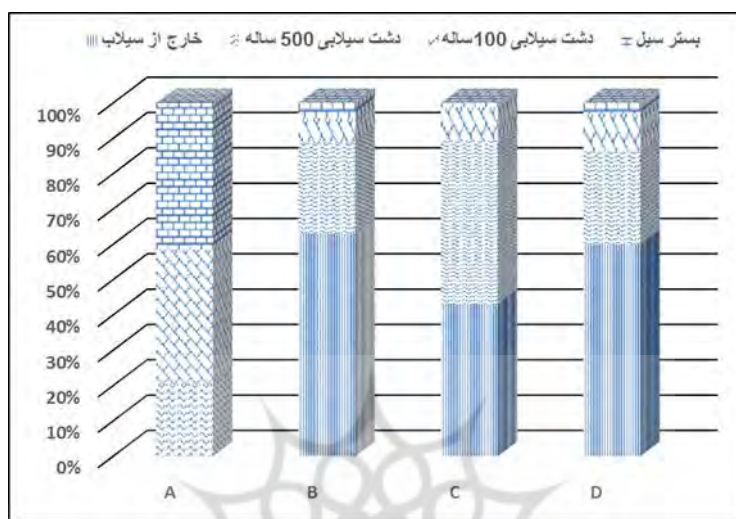
— همبستگی در سطح ۱,۰ معنی دار است.

جدول ۸- درصد مناطق کاشت درختان بومی نسبت به گروه‌های آشنتگی

درصدی از مساحت کاشت در هر طبقه	مساحت (متر مربع)	طبقه بندی
آشنتگی کناره رود		
۴/۲۵	۱۹۳۵۸	۱ گروه
۶/۷۰	۲۹۸۳۶	۲ گروه
۱۳/۹۲	۶۱۹۸۳	۳ گروه
۲۰/۱۹	۸۹۸۷۳	۴ گروه
۲۲/۴۴	۹۹۸۹۳	۵ گروه
۳۲/۴۱	۱۴۴۳۰۲	خارج از محدوده
آشنتگی ژئومورفیک		
۱۷/۶۲	۹۹۳۸۹	B گروه
۳۵/۷۱	۲۰۱۳۶۹	C گروه
۱۶/۲۸	۹۱۸۱۷	D گروه
۳۰/۳۹	۱۷۱۳۱۹	خارج از محدوده



شکل ۲- درصد ناحیه آشنتگی در پنج گروه کناره رود (بستر سیلاب، ۱۰۰ ساله و ۵۰۰ ساله) نسبت به کل آشنتگی



شکل ۳- درصد چهار گروه ناحیه آشفتگی ژئومورفیکی (بستر سیلاب، ۱۰۰ ساله و ۵۰۰ ساله) نسبت به کل آشفتگی

#### آشفتگی کناره رود

آشفتگی کناره رود شامل آشفتگی هایی می باشد که در ویژگی های پوشش گیاهی، عوارض انسانی و توپوگرافی حاشیه و کناره های رودخانه اتفاق می افتد. مساحت ناشی از آشفتگی کناره رود شامل پنج گروه با مساحت ۴۶۹۳۸۷۸۹ مترمربع در جدول ۴ نشان داده شده است. در مجموع در منطقه آشفتگی کناره رود بیشترین میزان آشفتگی در گروه ۱ شده است. در مجموع در ۱۰۹۶۵۷۹۳ (۱ مترمربع) و کمترین میزان آن در گروه ۵ (۶۵۷۲۴۷ مترمربع) بوده است و گروه ۰ با دارا بودن بیشترین مساحت بدون تغییر در گروه دشت های سیلابی بوده است. این الگوها در مقیاس وسیع نیز با افزایش فاصله از رودخانه برای دوره های بازگشت سیلاب های ۱۰۰ و ۵۰۰ ساله سازگار است. نسبت به هر گروه از آشفتگی ها شدیدترین آشفتگی ها در نزدیکی آبراهه در جریان سیلاب رخ داده و با افزایش، آشفتگی کاهش می یابد (شکل ۲). یکی دیگر از الگوی مشاهده شده مرتبط با گروه های سیلاب کاهش ناحیه آشفتگی برای هر نوع آشفتگی با افزایش فاصله از کanal می باشد که نشانگر مرزهای سیلاب است (جدول ۴).

به طوری ۶۵/۲۹ درصد از محدوده مورد پژوهش در بستر سیلاب واقع شده و بستر سیلاب ۱۰۰ ساله و بستر سیلاب ۵۰۰ ساله به ترتیب ۸/۶۳ و ۲۵/۶۶ درصد از کل مساحت را به خود اختصاص داده‌اند(شکل ۷۷-۴). آشفتگی مربوط به هر پنج گروه در خارج از سیلاب مساحتی در حدود ۱۹۶۰۴۷ مترمربع را پوشش داده است که این امر مربوط به ۰/۴۱ درصد از کل آشفتگی است. منطقه آشفتگی نیز با شدت آشفتگی در محدوده خارج از سیلاب به جز گروه ۱ و ۲ کاهش یافته است.

### آشفتگی ژئومورفیک

آشفتگی ژئومورفیکی شامل آشفتگی‌هایی است که در جنس رسوبات بستر و مورفولوژی رودخانه رخ می‌دهد. مساحت مجموع آشفتگی ژئومورفیک ۴۴۴۵۹۷۵۹ مترمربع را پوشش داده و به‌طور کلی منطقه آشفتگی با افزایش شدت آشفتگی و همچنین با افزایش فاصله از کanal برای دوره‌های سیلاب و دشت‌های سیلاب ۱۰۰ و ۵۰۰ ساله کاهش یافت (جدول ۵ و شکل ۳). بیشترین میزان آشفتگی ژئومورفیکی مربوط به طبقه A بوده که در مجموع ۳۷۱۶۰۸۴۶ مترمربع را پوشش داد در حالی که آشفتگی طبقه D با مساحتی معادل ۵۷۸۹۶۹ مترمربع کمترین میزان آشفتگی را پوشش داده است. برای محدوده بستر سیل بیشترین میزان آشفتگی ژئومورفیک متعلق به گروه A بوده که دارای ۹۴/۱۰ درصد می‌باشد که مساحتی حدود ۲۶۱۳۶۹۷۸ مترمربع را در بر گرفته است در حالی که کمترین میزان آشفتگی مربوط به گروه D با میزان ۱۱۳۶۸۷ درصد می‌باشد که دارای مساحت ۱۱۳۶۸۷ مترمربع است. برای دشت سیلابی ۱۰۰ و ۵۰۰ ساله هم مشابه منطقه بستر سیلابی بوده که بیشترین و کمترین میزان آشفتگی به ترتیب مربوط به گروه A و D می‌باشد. الگوی مشابهی نیز در محدوده خارج از سیلاب رخ داده است: در ۷۳ درصد از این ناحیه آشفتگی در گروه B رخ داده است، ۱۸/۹۲ درصد در رده C و ۸/۰۸ درصد باقی مانده نشان دهنده آشفتگی در گروه D است. کل ناحیه‌ای که در خارج از سیلاب قرار دارد ۲۲۱۴۲۵۰ مترمربع را پوشش می‌دهد که ۴/۹۸ درصد از آشفتگی ژئومورفیک کل را شامل می‌شود. با این حال نسبت به هر گروه از آشفتگی، شدیدترین آشفتگی در نزدیکی کanal در بستر سیل رخ می‌دهد و با افزایش به سمت سیلاب ۱۰۰ و ۵۰۰ ساله آشفتگی کاهش می‌یابد (جدول ۵).



### مقاطع آشفتگی و مناطق پوشش گیاهی و درختان کاشت شده

منطقه به شدت آشفتگی کناره رود و ژئومورفیک تقسیم می‌شود (جدول ۶). گروه B با کمترین آشفتگی ژئومورفیک با ۵۷/۱۶ درصد با گروههای ۱، ۲ و ۳ آشفتگی کناره رود همپوشانی دارد. گروه C ژئومورفیک نسبتاً آشفتگی شده ۵۶ درصد با مقادیر متوسط تا شدید گروههای ۳ و ۴ کناره رود همپوشانی دارد و گروههای شدیدتر در گروه D که نشان دهنده بستر سیلاب برای آشفتگی‌های کناره رود و ژئومورفیک است دارای ۲۴ درصد همپوشانی می‌باشد (جدول ۶). همبستگی پیرسون در محدوده کل منطقه آشفتگی کناره رود و ژئومورفیک توافق معنی دار ( $\alpha = 0,05$ ) برای شاخص‌های مربوط به آشفتگی را نشان می‌دهد (جدول ۷). گروه بدون تغییر ژئومورفیک (رد A) یک رابطه مثبت با گروه بدون تغییر کناره رود را نشان داد. گروه B ژئومورفیک دارای قوی‌ترین رابطه با گروه ۳ کناره رود است، گروه C ژئومورفیک دارای قوی‌ترین رابطه با گروه ۴ کناره رود و گروه D دارای قوی‌ترین رابطه با گروه ۵ کناره رود بود. یکی از الگوی همبستگی نشان داد که کمتر گروههای ژئومورفیک دارای روابط منفی ضعیف با گروههای کناره رود دارند و به همین ترتیب گروههای کناره رود دارای رابطه قوی و مثبت با گروههای ژئومورفیک هستند. کاشت درختان بومی توسط مردمان محلی تمام مقادیر مساحت کناره رود و ژئومورفیک را شامل می‌شود (جدول ۸). در جایی که این دو عامل همپوشانی داشتند ۵۶ درصد از مناطق کاشت در گروههای ۳، ۴ و ۵ کناره رود و ۵۱/۹۹ درصد از کاشت آن‌ها در گروههای C و D ژئومورفیک واقع شده‌اند. ۳۰/۳۹ درصد از منطقه کاشت درختی که در خارج از منطقه مطالعه رخ داده است که شامل مناطق بالادست یا پایین‌دست جریان منطقه‌ای است که برای آشفتگی و نواحی بدون آشفتگی طراحی شده است. بیشتر آشفتگی‌ها و مکان‌هایی با حداکثر آشفتگی ژئومورفیکی بر اثر سیلاب کاتاستروف رود گادر در محدوده بستر سیل رخ داده و این آشفتگی‌ها برای تمامی گروههای بخش کناره رود و ژئومورفیک با فاصله گرفتن از رودخانه و حرکت به سمت دوره بازگشتهای دشت سیلابی ۱۰۰ و ۵۰۰ ساله کاهش می‌یابد. این روند به خصوص در بیشتر آشفتگی‌های کناره رود و ژئومورفیک مشهود است. بیشتر آشفتگی‌های شدید در بستر و بستر میانی آبرفتی و بستر تخته سنگ‌های جزیره‌ای و

یا مستقیماً در امتداد بستر کانال به وقوع پیوسته و آشفتگی‌های باشد کمتر عمدتاً در دشت سیلابی ۱۰۰ و ۵۰۰ ساله و خارج از محدوده سیلاب قرار گرفته‌اند. این الگوی مشابه مشاهدات پارسونز و همکاران (۲۰۰۶) بود که در آن سیل‌ها منجر به فرسایش دشت سیلابی در مکان‌های نزدیک بستر شدن و سبب عریض شدن بستر از طریق از بین بردن پوشش گیاهی کناره رود و آبرفتی شده بود. این الگوی آشفتگی شبیه‌دار در حال حرکت به خارج از بستر با چندین میاندر توضیح داده شده است که پیچ و خم‌های داخل میاندرها به طور کامل فرسایش پوشش گیاهی را نشان می‌دهند. در نزدیکی بستر فرسایش شدید هنوز واضح است اما برخی از چمن و پوشش گیاهی همچنان در محدوده قابل مشاهده است. در داخل سطح دشت سیلاب در گروه ۴ از آشفتگی کناره رود چندین درخت را که از بین رفته است نشان می‌دهد که بیشتر درختان افتاده یا از بین رفته‌اند اما هنوز در جای خود قرار دارند و بیشتر پوشش گیاهی رودخانه از بین رفته است که این نمونه در بازه یک رود گادر به وضوح قابل مشاهده است. در هر دو طرف رودخانه نشانه‌هایی از آشفتگی ژئومورفیک و کناره رود جزئی وجود دارد که می‌توان آن‌ها را در گروه B آشفتگی ژئومورفیک و گروه ۱ آشفتگی کناره رود قرار داد (شکل ۴). روند خاصی بین گروه‌های ۱، ۲ و ۳ آشفتگی کناره رود و گروه‌های ژئومورفیک B و C وجود دارد که مکان‌هایی را که در این گروه از آشفتگی قرار گرفته‌اند در گروه آشفتگی متوسط قرار می‌گیرند. سیل ظرفیت و توانایی انتقال مقادیر متوسط رسوب و یا ایجاد فرسایش متوسط را دارد اما به عنوان یک نیروی بزرگ که بتواند به طور کامل بستر رودخانه آبرفتی را فرسایش دهد و پوشش گیاهی رو حذف کند کافی نیست بنابراین فقط دور از آستانه فرسایش دشت سیلابی خواهد بود. این احتمالاً به دلیل افزایش مقاومت گیاه و تقویت ریشه است و تأثیر این بر روی زبری دشت سیلابی و کاهش سرعت جریان بستر می‌باشد.

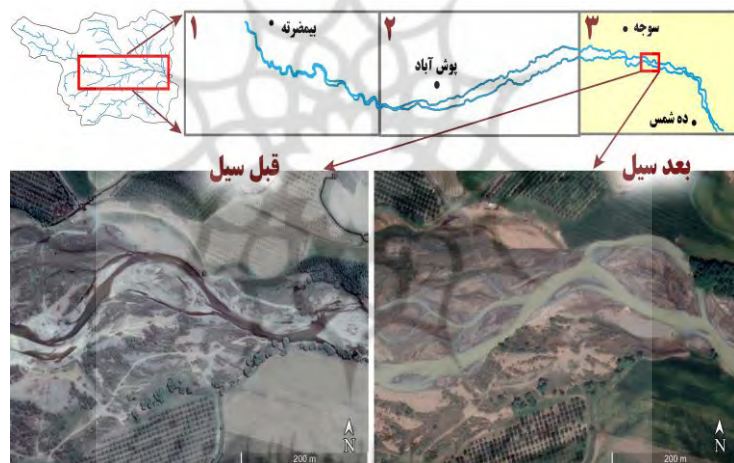


شکل ۴- فرسایش و از بین رفتن درختان در بستر رودخانه بر اثر سیلاب

## الف) فرسایش دشت سیلابی، مئاندرها، شاخه‌ها

فرسایش دشت سیلابی بیشتر در بستر و در مجاورت کanal منطقه مورد مطالعه رخ داده است. علاوه بر فرآیندهای فرسایشی آشکار، سیل به ویژه در جایی که رسوبات درشت دانه وجود داشته و قابل حمل نبوده به پهنا بودن دشت سیلابی کمک کرده است. این نهشته‌های رسوبی با توجه به مقدار رسوب نهشته شده به عنوان دسته C طبقه بندی می‌شوند. یکی دیگر از اشکال ژئومورفیک که در سراسر منطقه مورد مطالعه مشاهده شده است وجود پشتلهای رسوبی بزرگ در مجرای جانبی و کanal میانی جزایر می‌باشد. این پشتلهای نشان دهنده آشفتگی عمده ژئومورفیکی هستند که به عنوان اشکال جدید ایجاد شده و از نظر آشفتگی ژئومورفیکی بر اثر سیلاب کاتاستروف در گروه D قرار گرفته‌اند که بیشتر این پشتلهای در بازه ۳ رودخانه که بازه‌ای شریانی و شامل رسوبات سست می‌باشد، واقع شده‌اند (شکل ۵). در بسیاری از مناطق در امتداد سیل بخش‌هایی از چوب سخت، درختچه‌ای و پوشش گیاهی یا به طور کامل از بین رفته‌اند. با این حال اکثر آبرفت‌ها و چمن زارهای زیرین باقی مانده است که این مناطق در گروه‌های آشفتگی کناره رود ۲ و ۳ و در

گروه ژئومورفیک A و B قرار می‌گیرند که به احتمال زیاد علفزارها و ریشه‌های عمیق‌تر آن‌ها باعث افزایش چسبندگی خاک‌ها شده اما نیرویی که روی زیست توده بزرگ بوته‌ها و درختان اعمال شده است بسیار قوی بوده و سبب شده ریشه‌های کم عمق آن‌ها را در زمین نگه دارد. الگوهای مشابهی از فرسایش و تخریب سیلاب در هر سه بازه منطقه مورد مطالعه رخ داده است. مکانیسم‌هایی که باعث ایجاد این الگوهای آشفتگی شده‌اند در محل تلاقی کاملاً واضح نیست اما به احتمال زیاد حاصل نیروهای پیچیده هیدرولیک و پوشش زمینی آبراهه از لحاظ هندسه کانال (زاویه اصلی و شاخه‌ای)، زاویه تلاقی، شبیب محلی و نوع / ساختار پوشش گیاهی می‌باشد.



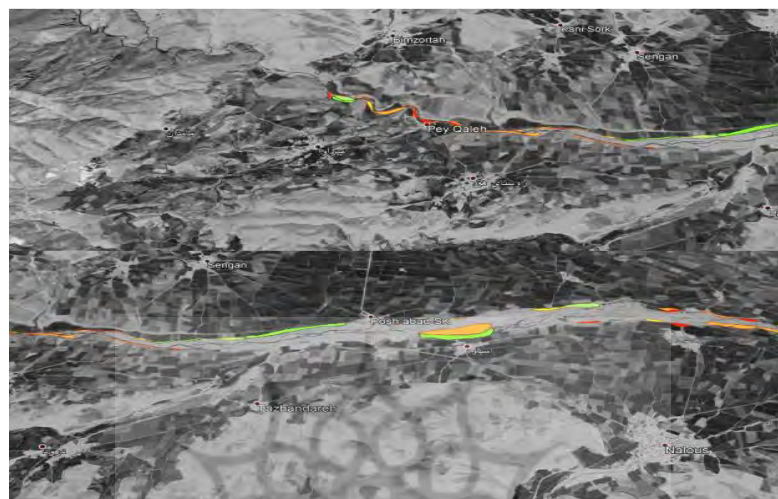
شکل ۵- وجود پشت‌پهای رسوبی که نشان از آشفتگی عمده ژئومورفیکی می‌باشد.

#### ب) توسعه و تغییرات پوشش گیاهی کناره رود

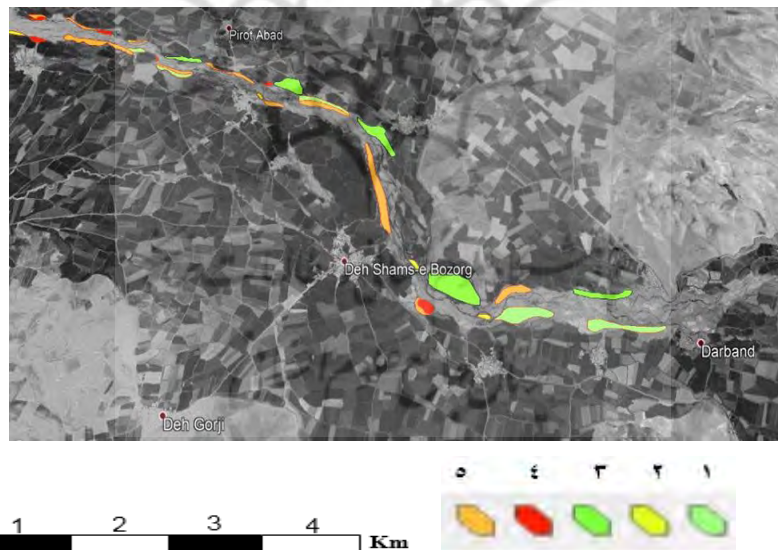
آشفتگی سیل کاتاستروف فروردین ۱۳۹۶ موجب از بین رفتن پوشش گیاهی شد. این آشفتگی به طور معمول در مناطقی که قبلًا در معرض خطر قرار دارند بیشتر شده است و آشفتگی‌های مکرر می‌تواند در نهایت منجر به تخریب کناره رود شود. این آشفتگی‌های مکرر می‌تواند سلامت اکوسیستم را کاهش داده و منجر به حالت کم پویایی شود که در ساختار و عملکرد متفاوت از شرایط پایدار است. گیاهان عوامل زیست محیطی مهمی در

سیستم‌های رودخانه‌ای هستند که در توسعه اراضی دشت‌های سیلاب و روند سیل نقش مهمی دارند. پوشش‌های ایجاد شده توسط جنگل‌های کناری جریان را کنترل می‌کند و بر فرآیندهای اکوژئومورفیکی جریان تأثیر می‌گذارد. مهم‌تر از همه در مورد ترمیم و مقاومت رودخانه گادر پوشش گیاهی درون دشت سیلاب بوده که برای کندردن سیلاب عمل می‌کند. پوشش گیاهی ناهمواری ایجاد می‌کند که سرعت جریان‌ها را کاهش می‌دهد به ویژه برای سیلاب‌های با انرژی و جریان کم که تکه‌های پوشش گیاهی در تعدیل سرعت سیل نسبت به گیاهان انفرادی عملکرد بهتری دارند زیرا مقادیر زیادی از تراکم شاخ و برگ بیشترین زبری را ایجاد می‌کند. در حال حاضر اثرات تغییر آب و هوا در مورد آشفتگی، از بین رفتن زیستگاه و فرسایش در مناطق خاص مشاهده می‌شود که باید شیوه‌های ترمیم با معیارهای بیش بینی شده تغییرات آب و هوا به منظور افزایش مقاومت در اکوسیستم تطبیق داده شود. با مقایسه مدل بومی گادر با مدل میتزن می‌توان دریافت که مدل طبقه بندی بومی رودخانه گادر در مقایسه با مدل میتزن از جهاتی دارای تشابه بوده ولی دارای تفاوت‌های ویژه‌ای نیز می‌باشد. در مدل میتزن در بخش آشفتگی کناره رود به ویژگی‌های توپوگرافی، پوشش اراضی محدوده رودخانه، عوارض انسانی و در بخش آشفتگی ژئومورفیکی به جنس رسوبات بستر و مورفولوژی رودخانه به طور کامل توجه نشده است در حالی که در حوضه گادر وجود اراضی واقع در کنار بستر رودخانه با پوشش‌های مختلف همراه با جنس رسوبات بستر و کناره‌ها نقشی مهمی در میزان گسترش یا کنترل سیلاب - دارد. در حالت کلی مدل میتزن با مدل بومی گادر از یک سری جهات و ویژگی‌ها تشابه داشته ولی به جهت وجود عوامل محلی تأثیر گذار در رخداد سیلاب دارای تفاوت‌های خاصی است. مدل بومی گادر برای رودخانه‌های مشابه داخل ایران که دارای ویژگی‌های اقلیمی و مورفولوژیکی مشابه بوده قابل اجرا می‌باشد (شکل ۶). و در ادامه جهت مشخص کردن آشفتگی‌های ژئومورفیکی ناشی از آشفتگی کناره رود رودخانه گادر از طریق عکس هوایی در شکل ۷ نشان داده شد.

<p>دسته A: بدون آشفتگی. ۱. این نواحی نشانه‌هایی از آشفتگی در آن‌ها مشاهده نمی‌شود. ۲. بستر از جنس رسوبات مقاوم بوده. ۳. مورفولوژی رودخانه تغییر نکرده است</p> <p>دسته B: آشفتگی خلی کم. ۱. شواهد فرسایش با رسوب وجود دارد. ۲. مناطقی که از کانال رودخانه دور هستند و در آن‌ها فرسایش رودخانه‌ای کم است و مناطقی که رسوبات مناسب در نواحی وسیعی از دشت سیلان تهشین شده باشند را شامل می‌شود. ۳. بستر دارای رسوبات سست و مقاوم بوده. ۴. مورفولوژی رودخانه تغییر نکرده است</p> <p>دسته C: آشفتگی متوسط. ۱. اشکال جدیدی در امتداد کانال رودخانه گشترش یافته یا تغییر پیدا کرده‌اند. شامل چالهای می‌باشند که این مناطق گستردۀ شده‌اند که نشانه‌هایی از رسوب متوسط با فرسایش است. ۲. رسوبات سست بستر بیشتر بوده. ۳. مورفولوژی رودخانه در برخی نقاط تغییرات جزئی کرده است</p> <p>دسته D: آشفتگی زیاد و خلی زیاد. ۱. در این مناطق فرسایش و رسوب زیاد اتفاق می‌افتد. ۲. اشکال جدید مانند نوارهای نقطه‌ای رسوب گذاری می‌شوند، کانال رودخانه گستردۀ می‌شود و چالهای جدید به وجود می‌آیند. ۳. رسوبات بستر سست و تخریب شده می‌باشد. ۴. مورفولوژی رودخانه کاملاً تغییر کرده و مانند رهای جدید ایجاد شده است.</p>	<p>دسته اول: بدون آشفتگی. ۱. این نواحی یا تحت تأثیر سیلان نبوده یا به دلیل توبوگرافی و پوشش اراضی آشفتگی در آن‌ها مشاهده نمی‌شود. ۲. دارای پوشش گیاهی مرتعی متراکم بوده. ۳. آسیبی به عوارض انسانی وارد نشده</p> <p>دسته دوم: آشفتگی خلی کم. ۱. سیلان در اکثر پوشش گیاهی این مناطق تأثیری نداشته است. ۲. در اراضی بدون پوشش و رسوبات نا مقاوم ممکن است نشانه‌هایی از آشفتگی قابل مشاهده باشد. ۳. دارای پوشش گیاهی مرتعی متراکم بوده</p> <p>- آسیبی به عوارض انسانی وارد نشده</p> <p>دسته سوم: آشفتگی کم. ۱. آشفتگی در پوشش گیاهی کنار رودخانه‌ای بهوضوح قابل مشاهده است. ۲. تعداد اندکی از درختان آسیب دیده، افتاده و یا خم شده‌اند؛ اما اکثر درختان در حالت قائم و بدون آسیب هستند. ۳. در برخی از مناطق دارای پوشش گیاهی مرتعی کم تراکم بوده. ۴. در برخی نقاط عوارض انسانی آسیب دیده</p> <p>دسته چهارم: آشفتگی متوسط. ۱. در بخش وسیعی از پوشش گیاهی کنار رودخانه آشفتگی وجود دارد. ۲. تعداد درختان افتاده، خم شده و آسیب دیده از تعداد درختان سالم بیشتر است. ۳. در برخی از مناطق دارای پوشش گیاهی مرتعی کم تراکم و دیم بوده. ۴. بخشی از عوارض انسانی آسیب جدی دیده</p> <p>دسته پنجم: آشفتگی زیاد. ۱. تمام دشت سیلانی از پوشش گیاهی و درختان خالی شده است. ۲. تقریباً همه پوشش گیاهی کنار رودخانه از بین رفته است. ۳. برخی آبرفت‌های مرتفع هنوز در محل وجود دارند. ۴. مخلوط باغ و مرتع کم تراکم تا بدون پوشش گیاهی مرتعی مانند موتور آب و کلبه در محل خالی شده و بدنه پل‌ها آسیب جدی دیده</p> <p>دسته ششم: آشفتگی خلی زیاد. ۱. تمام دشت سیلانی از پوشش گیاهی و درختان خالی شده است. ۲. پوشش گیاهی کنار رودخانه کاملاً از بین رفته است و به آبرفت‌های سنگی یا بستر سنگی رسیده است. ۳. مخلوط باغ، کشت آبی و زمین‌های لخت. ۴. عوارض انسانی نظیر پل‌ها و کلبه‌ها کاملاً تخریب شده.</p>
--	--



شکل ۶- طرح طبقه بندی بومی برای توصیفی آشفتگی کناره رود و ژئومورفیک رودخانه گادر



شکل ۷- آشفتگی کناره رود رودخانه گادر در بازه های ارتفاعات کیله شین تا روستای دربند

### نتیجه گیری

تغییرات مورفولوژیک آبراهه رودخانه نسبت به سیلاب‌های شدید می‌تواند در کوتاه‌مدت و بلند مدت اثراتی را در هیدرولیک رودخانه ایجاد کند. از تصاویر هوایی با وضوح بالا از قبل و بعد از سیلاب برای تحلیل ۳۵ کیلومتر از بستر اصلی رودخانه گادر به منظور مشخص کردن میزان آشفتگی‌های ژئومورفیکی و کناره رود با شدت‌های متفاوت استفاده شد. بیشترین آشفتگی‌های ناشی از سیلاب کاتاستروف رود گادر که به وقوع پیوسته شامل گروه ۵ برای آشفتگی کناره رود و گروه D برای آشفتگی ژئومورفیک می‌باشد که عمدتاً در محدوده بستر سیل رخ داده و این آشفتگی برای تمامی گروه‌های بخش کناره رود و ژئومورفیک با فاصله گرفتن از رودخانه و حرکت به سمت دوره‌های بازگشت دشت سیلابی ۱۰۰ و ۵۰۰ ساله کاهش یافته است. در گروه ۵ آشفتگی کناره رود ۹۰/۲ درصد از آشفتگی‌ها در بستر سیلاب رخ داده است در حالی که تنها ۸/۶ درصد در دشت سیلابی ۱۰۰ ساله و ۰/۶ درصد در دشت سیلابی ۵۰۰ ساله اتفاق افتاده است. به همین ترتیب در گروه D آشفتگی ژئومورفیک ۹۲ درصد در بستر سیلاب رخ داده است و تنها ۸ درصد از میزان آشفتگی در گروه‌های دیگر سیلابی به وقوع پیوسته است؛ بنابراین بیشتر آشفتگی‌های شدید در بستر کanal قرار گرفته‌اند و آشفتگی‌های با شدت کمتر عمدتاً در دوره‌های بازگشت دشت سیلابی ۱۰۰ و ۵۰۰ ساله و خارج از محدوده سیلاب واقع شده‌اند. شدیدترین نوع فرآیند آشفتگی ژئومورفیک گروه D دارای ۵۸ درصد با دو گروه ۴ و ۵ کناره رود، به ترتیب به عنوان فرسایش دشت سیلابی جزئی و کامل شناخته شدند. جنگل زایی و پوشش گیاهی باعث افزایش تراکم و ساختار پوشش گیاهی دشت سیلابی در طول رودخانه گادر و به طور بالقوه در آینده خواهد شد. فرآیندهای تأثیر پذیر طبیعی و فعل توسط درختان و گیاهان در یک سیلاب در نهایت پوششی به وجود می‌آورد که مزایای قابل توجهی برای ساکنین حوضه رودخانه گادر و کسانی که در پایین رودخانه هستند فراهم می‌کند که آمادگی زمین داران محلی برای بازگرداندن حریم کناره رود رودخانه اقدام ضروری برای اطمینان از انعطاف پذیری این سیستم و توانایی آن در رفع حوادث ناگهانی سیلاب‌های بزرگ است.



## منابع

- جهادی طرقی، مهناز (۱۳۸۷)، علل و آثار ژئومورفیک سیلاب‌های شدید (کاتاستروفیک) رودخانه مادرسو سال ۸۰ و ۸۱، رساله دکتری، دانشکده جغرافیا، دانشگاه تهران.
- حسینی، موسی، بیگلو، منصور، یمانی، مجتبی، گراوند، فاطمه (۱۳۹۴)، پیش‌بینی سیلاب تاریخی رودخانه کشکان با استفاده از مدل هیدرولوژیکی HMS-HMS، پژوهش‌های ژئومورفولوژی کمی، سال چهارم، شماره ۱، تابستان ۱۳۹۴، صص ۱۱۸-۱۳۳.
- خان بابایی، زهرا، مقیمی، ابراهیم، مقصودی، مهران، یمانی، مجتبی، علوی پناه، کاظم (۱۳۹۶)، پاسخ رسوی ژئومورفیک رودخانه‌های کوهستانی ایلام به سیلاب شدید سال ۹۴، پژوهش‌های ژئومورفولوژی کمی، سال ششم، شماره ۲، پاییز ۹۶، صص ۷۸-۶۴.
- فرج زاده، منوچهر (۱۳۹۱)، بررسی خطر سیل خیزی در زیر حوضه‌های استان آذربایجان غربی، پژوهش‌های ژئومورفولوژی کمی، شماره ۱، تابستان ۱۳۹۱، صص ۶۸-۵۹.
- یمانی، مجتبی، عنایتی، مریم (۱۳۸۴)، ارتباط ویژگی‌های ژئومورفولوژیک حوضه‌ها و قابلیت سیل خیزی (تجزیه و تحلیل داده‌های سیل از طریق مقایسه ژئومورفولوژیک حوضه‌های فشنده و بهشت آباد)، پژوهش‌های ژئومورفولوژی کمی، زمستان ۱۳۸۴، دوره ۳۷، شماره ۵۴، صص ۵۷-۴۷.
- Anderson, B., Rutherford, I., Western, A., 2006. An analysis of the influence of riparian vegetation on the propagation of flood waves. Environ. Model. Softw. 21, 1290–1
- Baattrup-Pedersen, A., Jensen, K., Thodsen, H., Andersen, H., Andersen, P., Larsen, S., Riis, T. Andersen, D., Audet, J., Kronvang, B., 2013. Effects of stream flooding on the distribution and diversity of ground water-dependent vegetation in riparian areas Freshw. Biol. 58, 817–827.
- Greet, J., Webb, J., Cousens, R., 2015. Floods reduce the prevalence of exotic plant species within the riparian zone: evidence from natural floods. Appl. Veg. Sci. 18 (3), 503–512.
- Hauer, C., Habersack, H. 2009. Morphodynamics of a 1000-year flood

in the Kamp River, Austria, and impacts on floodplain. *Earth Surf. Process. Land forms* 34, 654–682.

- James, C., Mackay, S., Arthington, A., Capon, S., Barnes, A., Pearson, B., 2016. Does stre structure woody riparian vegetation in subtropical catchments? *Ecology and Evolution* 6 (16), 5950 - 5963.
- Julian, J.P., Podolak, C.J.P., Meitzen, K.M., Doyle, M.W., Manners, R.B., Hester, E.T., Ensign, S., Wilgruber, N.A., 2016. In: Jones, J.B., Stanley, E.H. (Eds.), *Shaping the Physical Template: Biological, Hydrological, and Geomorphic Connections in Stream Channels Inside Stream Ecosystems in a Changing Environment*. Elsevier Academic Press, Amsterdam, pp. 85–133.
- Kochel, R.C., Hayes, B.R., Muhlbauer, J., Hancock, Z., Rockwell, D.2015. Geomorphic response to catastrophic flooding in north-central Pennsylvania from Tropical Storm Lee (September 2011): Intersection of fluvial disequilibrium and the legacy of logging. *Geosphere*, published online on 23 December 2015 as doi:10.1130/GES01180.1.
- Magilligan, F.J., Buraas, E.M., Renshaw, C.E., 2015. The efficacy of stream power and flow duration on geomorphic responses to catastrophic flooding. *Geomorphology* 228, 175– 188.
- Meitzen, K.M., Phillips j n., Thaïs Perkins, Aspen Manning, Jason P. Julian. 2017. Catastrophic flood disturbance and a community's response to plant resilience in the heart of the Texas Hill Country, Texas Univ. Texas Undergr. Res. J. 4 (1), 34–47.
- Walczak, N., Hammerling, M., Spycharala, M., Niec, J., 2015. The influence of the presence of vegetations in flood plains on flood risks. *J. Ecol. Eng.* 16 (5), 160–167.
- Radek, Ch. T. 2000. *Sediment transport: Theory and practice*. New York: McGraw-Hill.
- Rusnák, M., Lehotský, M., Sládek, J.2015. Geomorphic adjustment of a gravel bed meandering river a response to contemporary floods and management issues (The Eastern Slovakia). *Mobility & river management* .A4 ,1-3.